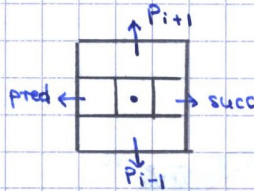


2.2.2. Darstellung im Rechner:

- $P_i, 0 \leq i \leq R$ als doppelt verkettete Liste der Ecken + jede Ecke von P_i zeigt zusätzlich auf ihre Kopie in P_{i+1} und umgekehrt

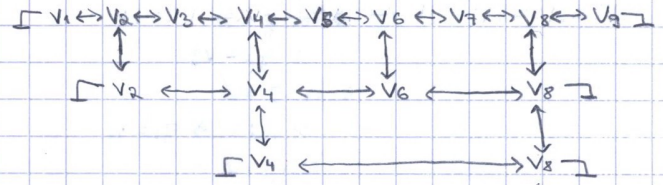
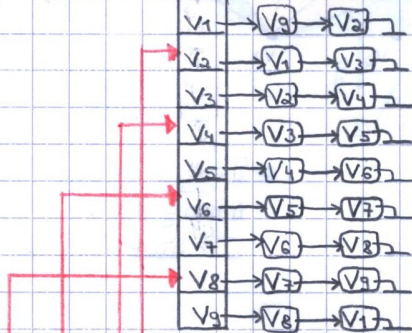


- explizite Speicherung des Kantensbaums
 → Dynamisierung (Ecken einfügen/löschen)
 (wie bei Suchbäumen)

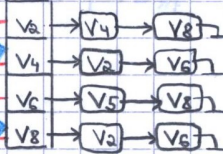
2.2.3 Beispiel:

Sei P gegeben wie in 2.1.9.

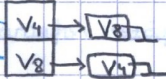
P_0 als verkettete Liste:



P_1 als verkettete Liste:



P_0 als verkettete Liste:



2.2.4. Anwendung: Schnitt mit einer Geraden:

→ 2.2.4.1 Ziel:

Geg: Hierarchische Darstellung $P_0 \dots P_R$ eines konvexen Polygons P und eine Gerade g .

Ausgabe: $P \cap g$

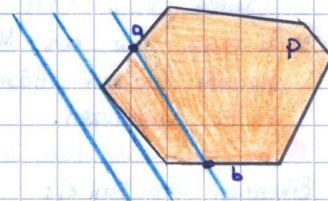
Konvexität $\Rightarrow P \cap g =$ Strecke

\Rightarrow Es genügt Schnittpunkte a, b mit den Randsegmenten zu berechnen.

Fälle: 1) $a \neq b$ (allg. Fall, Ecken möglich)

2) $a = b$ (eine Ecke)

3) ex. nicht!, Schnitt = \emptyset



2.2.4.2. Idee für Algorithmus:

1) Schnitttest mit P_0 :

2 Fälle: a) $P_0 \cap g = \emptyset$

konst. Operationen, weil $|P_0| \leq 4$

b) $P_0 \cap g \neq \emptyset$

Ann: wir haben Fall a)

\Rightarrow sei $q_0 \in P_0$ mit minimalen Abstand zu g

Im Fall b \rightarrow STOP

d) Durchlaufe die hierarchische Darstellung P_1, P_2, \dots und finde entweder:

a) $q_i \in P_i$ mit minimalen Abstand, falls $P_i \cap g = \emptyset$

oder

b) Schnittpkte a_i, b_i von P_i mit g .

Im Fall b) \rightarrow STOP.

Bsp: $P = V_1 \dots V_9 = P_2$

$P_1 = V_1 V_2 V_8 V_7 V_9$

$P_0 = V_2 V_7 V_9$

Im Alg:

1) $P_0 \cap g = \emptyset$

$\Rightarrow q_0 = V_9$

2) $P_1 \cap g \neq \emptyset$

\Rightarrow Fall b) \leadsto finde a_1, b_1

STOP

Im Alg:

1) $P_0 \cap g = \emptyset$

$\Rightarrow q_0 = V_9$

2) $P_1 \cap g = \emptyset$

\Rightarrow Teil a) $\Rightarrow q_1 = V_1$

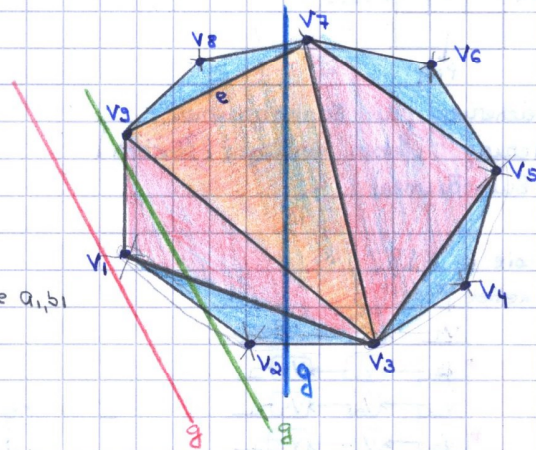
$P_2 \cap g = \emptyset$

\Rightarrow Teil a) $\Rightarrow q_2 = V_1$.

Im Alg:

1) $P_0 \cap g \neq \emptyset$

\Rightarrow STOP



Zwei mögliche Ausgänge: (wenn $i = k$)

a) $P_k \cap g = P_k \cap g = \emptyset$ und wir kennen Ecke $q_k \in P$, die g am nächsten

b) $P_i \cap g = (a_i, b_i)$ für $0 \leq i \leq k$

Im Bsp:

\rightarrow Ausgang b) $\Rightarrow P_i \cap g = (a_i, b_i)$ für $i = 1$.

\rightarrow Ausgang a) $\Rightarrow P_k \cap g = \emptyset$, $q_2 = V_1 \in P$.

\rightarrow Ausgang b) $\Rightarrow P_0 \cap g = (a_0, b_0)$ für $i = 0$.

Ausgang a) \Rightarrow fertig, $P \cap g = \emptyset$

Ausgang b) \Rightarrow Wir müssen Schnittpkte (a_i, b_i) später verfeinern bis (a_k, b_k) } Phase 2 gefunden.

Nun: Übergang von $q_i \rightarrow q_{i+1}$ (Fall a) bzw. Test, ob Fall b) gilt.

2.2.4.3 Laufzeit:

Phase 1: Kandidaten für nächsten Pkt q_{i+1} sind schon genau die Ecken von P_{i+1} die Verfeinerungen der Nachbarkanten von q_i in P_i

Das folgt unmittelbar aus der Konvexität.

Im Bsp: $i = 0$, $q_0 = V_9$, Kand. für q_1 ist Ecke von P_1 nämlich V_1

Dies ist die Ecke der Verfeinerungen der Nachbarkanten von $q_0 = V_9$, nämlich der Kanten $(V_9, V_1) \wedge (V_9, V_3)$

\Rightarrow Es muß nur ein Minimum in einer konstanten Zahl von Kandidaten gesucht werden, nämlich in den Verfeinerungen der Kanten, die an q_i in P_i angrenzen.

Im Bsp: Suche Min. in $(V_9, V_1), (V_9, V_3)$

Erkennen von Fall b):

Teste in der Kandidatenmenge, ob ein Pkt auf der anderen Seite von g liegt. (Orientierung)

$\Rightarrow (a_{i+1}, b_{i+1})$ in konst. Zeit denn konst. viele Kand.

(Schnittberechnung mit Verfeinerungskanten).

Im Bsp: $i = 0$, $q_0 = V_9 \Rightarrow$ Kandidatenmenge: (V_9, V_1) und (V_9, V_3)

V_1 liegt auf der anderen Seite von g , denn $\text{orient}(V_9, V_1, g) > 0$

\Rightarrow Teil b) erkannt

(bea: $\text{orient}(V_9, V_3, g) \leq 0$)

- Laufzeit:
- $O(1)$ pro Hierarchiestufe
 - Haben nur $O(\log n)$ Stufen
- $\Rightarrow O(\log n)$ für die erste Phase.

Nach Phase 1 haben wir zwei Fälle:

Fall a) \Rightarrow fertig.

Fall b) \Rightarrow machen weiter zu Phase 2.

Phase 2: Geg: $\{a_i, b_i\} = P \cap g$ für $i < k$ (sonst fertig) und es sind keine Ecken (sonst ebenfalls fertig).

Betrachte a_i (b_i analog):

a_{i+1} muss Schnittpkt sein mit einer Verfeinerungskante von e , wobei $a_i = \text{eng}$

• Bsp: Betrachte $a_0, i=0 < 2$

a_1 ist Schnittpkt mit Verfeinerungskante von e , wobei $a_0 = \text{eng}$ und der Geraden g .

Die Verfeinerungskanten von e sind (v_s, v_e) und (v_e, v_r)

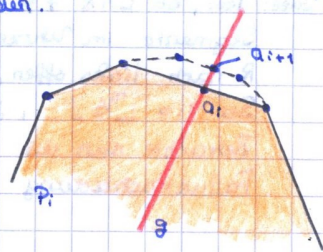
$\Rightarrow a_{i+1}$ kann in Zeit $O(1)$ aus a_i berechnet werden.

(b_{i+1} analog aus b_i)

Weil #Verf.kanten konst. Genauer ≤ 4 .

\Rightarrow Laufzeit von Phase 2 auch $O(\log n)$.

\Rightarrow Gesamte Laufzeit also $O(\log n)$!



2.2.5 Satz: Für ein konvexes Polygon P kann:

1) die hierarchische Darstellung in Zeit $O(n)$

aufgebaut werden.

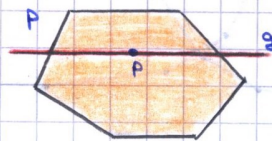
2) braucht Platz $O(n)$

3) für beliebige Gerade g kann $P \cap g$ mit Hilfe der hierarchischen Darstellung in Zeit $O(\log n)$ berechnet werden.

2.2.6 Bem.

1) Teil 3) \Rightarrow Alternativer $\log n$ -Alg. zum Test, ob $P \cap g \neq \emptyset$ ist.

Idee:



$$P \cap g \neq \emptyset \Leftrightarrow P \cap P \cap g$$

- Betr. Gerade g durch p parallel zu x -Achse
- Berechne hieras. Darst.
- Berechne Schnittpkte
- Schau ob $p_x \in [a_x, b_x]$

\Rightarrow Zeit: $O(1) + O(n) + O(\log n) + O(1) = O(n)$!

2) Hieras. Darstellung auch im \mathbb{R}^3 möglich, dh. für konvexe Polyeder.
(dazu später mehr...)

2.3 Weiteres Problem auf konvexen Polygonen: Schnitt von zwei konvexen Polygonen.

2.3.1. Ziel: Geg: zwei konvexe Polygone P, Q

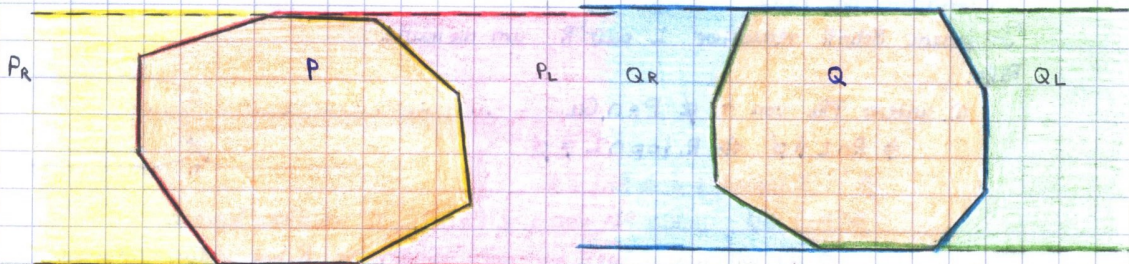
Test ob $P \cap Q \neq \emptyset$

Ann. Wir wissen schon, wie man $P \cap Q$ in Zeit $O(n)$ berechnet, wobei $n =$ Gesamtzahl der Ecken.

2.3.2. Idee:

1) Betrachte ein einfacheres Problem: Test, ob sich zwei polygonale Ketten schneiden.

- Zerlege P in linken (P_L) & rechten (P_R) Rand durch Zerschneiden an Extrempunkten gemäß y_x -Sortierung der Ecken.
- Erweitere durch entsprechende horizontale Strahlen.



Beobachtung: $P \cap Q \neq \emptyset \Leftrightarrow P \cap Q \cap R \neq \emptyset \wedge P \cap R \cap Q \neq \emptyset$

Beweis: $P \cap Q \neq \emptyset \Rightarrow P \cap R \cap Q \neq \emptyset \wedge P \cap Q \cap R \neq \emptyset$ klar.

Für P mit $P \cap R \cap Q \neq \emptyset \Leftrightarrow P \cap Q \neq \emptyset$
(hierbei gilt auch $P \cap Q \cap R \neq \emptyset$)

Für Q mit $Q \cap R \cap P \neq \emptyset \Leftrightarrow P \cap Q \neq \emptyset$
(hierbei gilt auch $Q \cap L \cap P \neq \emptyset$)

\Rightarrow Falls $P \cap R \cap Q \neq \emptyset \wedge P \cap Q \cap R \neq \emptyset \Rightarrow P \cap Q \neq \emptyset$

2). Lösung des einfacheren Problems:

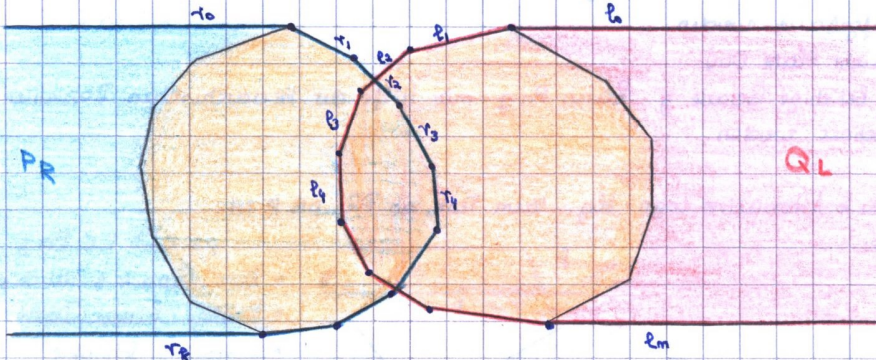
Bea: Wir wissen nicht, ob P linkes und Q rechtes Polygon oder umgekehrt.

Idee: Test, ob $L \cap R \neq \emptyset$ in Zeit $O(\log n)$, wobei $R = r_0 \dots r_k$ gegeben durch die Segmente im Uhrzeigersinn (r_0, r_k Strahlen) und $L = l_0 \dots l_m$ analog gg. Uhrzeigersinn. R nach links offen, L nach rechts offen.

Sei $i := \lfloor \frac{m}{2} \rfloor, j := \lfloor \frac{k}{2} \rfloor$

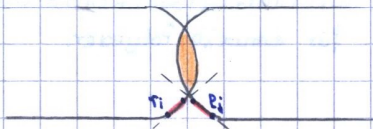
Betrachte nun die mittleren Segmente r_i und l_j .

Fallunterscheidung gemäß der Lage von l_j und r_i auf Geraden R_i und L_j .



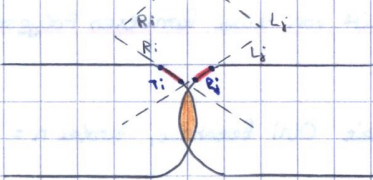
Es gibt nun mehrere Fälle:

1)



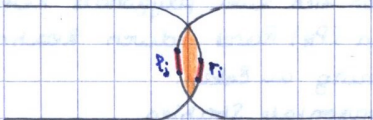
$\leftarrow P \cap Q$ oberhalb von den unteren Endpunkten von r_i und l_j

2)



$\leftarrow P \cap Q$ unterhalb von den oberen Endpunkten von r_i und l_j

3)



\leftarrow Endpunkte von r_i und $l_j \in P \cap Q$
(Bea: Hierbei müssen sich die Polygone nicht notw. schneiden!)

Wir betrachten hier Fall 1

In jedem Schritt reduziere L oder R um die Hälfte.

Fälle:

a). unterer Pkt von $r_i \notin P \cap Q$

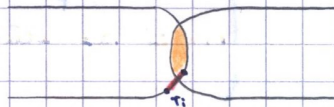
$\Rightarrow R \cap L \neq \emptyset \Leftrightarrow R \cdot \text{top} \cap L \neq \emptyset$

\Leftarrow " : $R \cdot \text{top} \cap L \neq \emptyset \Rightarrow R \cap L \neq \emptyset$

\Rightarrow " $P \cap L \neq \emptyset$, unterer Pkt von $r_i \notin P \cap Q$, r_i mittleres Segment

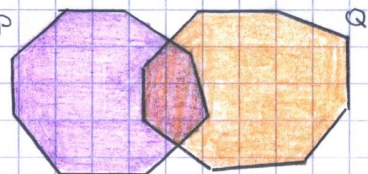
\Rightarrow da wir uns im Fall 1 befinden, können wir $R \cdot \text{bot}$ tauschmüssen.

$\Rightarrow R \cdot \text{top} \cap L \neq \emptyset$



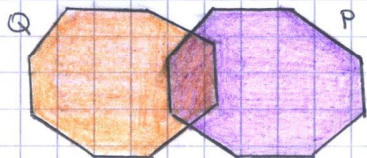
Beobachtung: $P \cap Q \neq \emptyset \Leftrightarrow P \cap Q \neq \emptyset \wedge P \cap Q \neq \emptyset$.

Denn:



Hier: $P \cap Q \neq \emptyset \Leftrightarrow P \cap Q \neq \emptyset$

Bea: Man weiß in der Regel nicht, welches Polygon rechts und welches links liegt.



Hier: $P \cap Q \neq \emptyset \Leftrightarrow P \cap Q \neq \emptyset$

\Rightarrow insgesamt gilt also: falls $P \cap Q \neq \emptyset \wedge P \cap Q \neq \emptyset \Rightarrow P \cap Q \neq \emptyset$

" \Leftarrow " klar

\Rightarrow die obige Beh.

2) Lösung des einfacheren Problems:

Idee: Test, ob $L \cap R \neq \emptyset$ in Zeit $O(\log n)$, wobei $R = \{r_0 \dots r_n\}$ und $L = \{l_0 \dots l_m\}$ gegeben durch die Segmente im Uhrzeigersinn (für R) und gegen Uhrzeigersinn (für L).

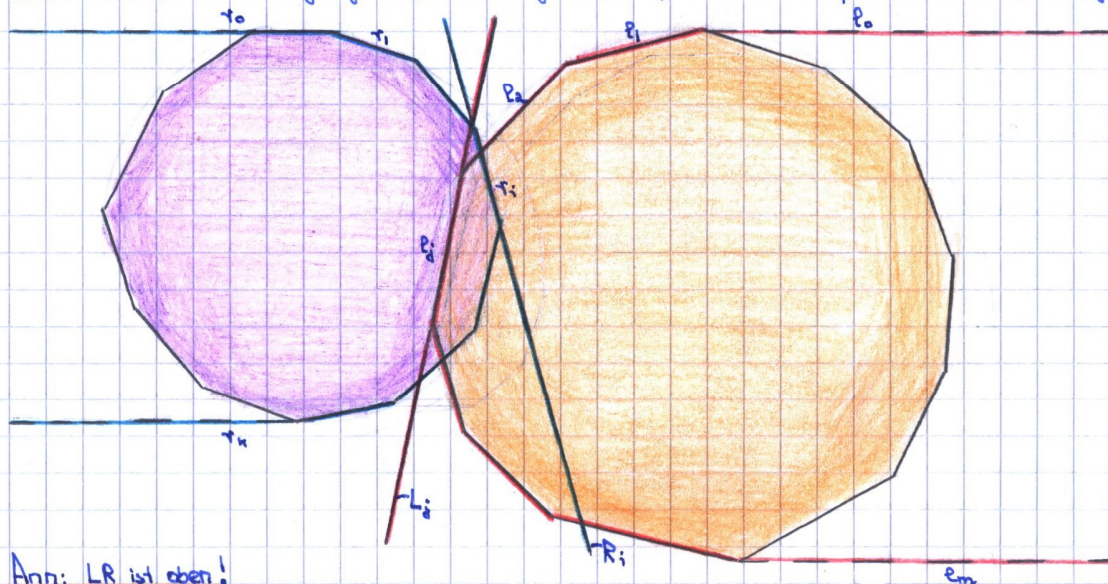
(r_0 und r_n bzw. l_0 und l_m sind Strahlen).

R ist nach links offen und L nach rechts offen.

Sei $i := \lfloor \frac{m}{2} \rfloor$ und $j := \lfloor \frac{n}{2} \rfloor$

Betrachte nun die mittleren Segmente r_i und l_j

Nun: Fallunterscheidung gemäß der Lage von l_j und r_i auf Geraden R_i und L_j :



Ann: LR ist oben!

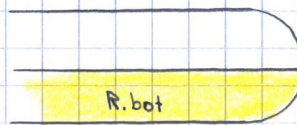
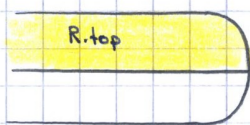
In jedem Schritt reduziere L oder R um die Hälfte.

Fälle:

a) unterer Pkte von r_i ist nicht in LR

$\Rightarrow R \cap L \neq \emptyset \Leftrightarrow R \cdot \text{top} \cap L \neq \emptyset$

wobei:



b) unterer Pkte von l_j ist nicht in LR.

$\Rightarrow R \cap L \neq \emptyset \Leftrightarrow R \cdot L \cdot \text{top} \neq \emptyset$

c) beide unteren Pkte sind in LR

vi) falls u_{r_i} unterhalb von u_{l_j}

$\Rightarrow R \cap L \neq \emptyset \Leftrightarrow R \cdot \text{top} \cap L \neq \emptyset$

lii) falls u_{l_j} unterhalb von u_{r_i}

$\Rightarrow R \cap L \neq \emptyset \Leftrightarrow R \cap L \cdot \text{top} \neq \emptyset$

Hierbei: $u_{r_i} \hat{=}$ unterer Endpunkte von r_i
 $u_{l_j} \hat{=}$ unterer Endpunkte von l_j .

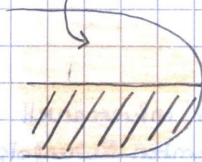
⇒ In Zeit $O(i)$ wird entweder L oder R auf die Hälfte reduziert.
Wiederhole nun bis l_j sich mit r_i überschneidet oder bis nur noch konstante Größe von L und R.

2.3.3. Laufzeit: sei $R + m + 2 =: n$

⇒ der eigentliche Test, ob $L \cap R \neq \emptyset$ in Zeit $O(\log n)$.

Kleines Beispiel zur Veranschaulichung:

bea: R.top:



R.bot:



B. unterer Pkt von P_j nicht $\in L \cap L$

$\Rightarrow R \cap L \neq \emptyset \Leftrightarrow R \cap L.top \neq \emptyset$

\Rightarrow Man teilt also so weiter bis nur ein Segment übrig bleibt.

c) beide unteren Pkte $\in L \cap L$

\Rightarrow Ketten schneiden sich.

\Rightarrow In Zeit $O(1)$ wird entweder L oder R auf die Hälfte reduziert.

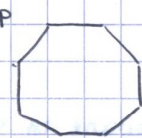
Niederhole bis r_i sich mit P_j schneiden oder bis nur noch konstante Größe von L und R also bis nur jeweils ein Segment übrig geblieben ist.

2.3.3. Laufzeit:

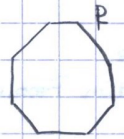
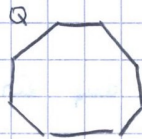
Sei $k+m =: n \Rightarrow$ Test ob $L \cap R \neq \emptyset$ in Zeit $O(\log n)$.

Zusatz: bea: $P_n Q \neq \emptyset \Leftrightarrow P_L \cap Q_R \neq \emptyset \wedge P_R \cap Q_L \neq \emptyset$

Skizze:



} $\Rightarrow P_n Q \neq \emptyset \Leftrightarrow P_R \cap Q_L \neq \emptyset$



} $\Rightarrow P_n Q \neq \emptyset \Leftrightarrow Q_R \cap P_L \neq \emptyset$

$\Rightarrow P_n Q \neq \emptyset \Leftrightarrow P_R \cap Q_L \neq \emptyset \wedge Q_R \cap P_L \neq \emptyset$

Ferner: $P_n Q \neq \emptyset \Leftrightarrow L \cap R \neq \emptyset$

\Rightarrow Haben unser Problem auf ein einfacheres zurückgeführt und es mit Zeit $O(\log n)$ gelöst.

Wg. Äquivalenz \Rightarrow Test ob $P_n Q \neq \emptyset$ in Zeit $O(\log n)$.

Kapitel III: Das Plane Sweep Verfahren.

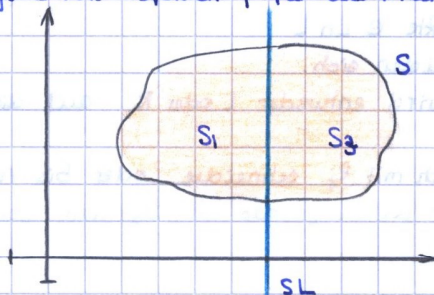
3.1. Einführung:

3.1.1. Idee:

Allg. Ansatz zw. log. geom. Probleme in der Ebene, die inkrementell durch schrittweises Betrachten der Eingabedaten in einer bestimmten Reihenfolge gelöst werden können.

dh. meistens von links nach rechts (x-Ordnung).

Genauer: Man schiebt / bewegt eine sog. Sweepline, also eine vertikale Gerade SL über die Menge S von Objekten, für die man ein Problem lösen möchte.



Im Allg. zerlegen wir S in drei Mengen:

- S_1 links von SL
(Teilproblem für S ist gelöst).
- S_2 rechts von SL
Objekte, die wir noch nicht kennen.
- $S_2 = S \cap SL$
alle Objekte die von SL geschnitten werden.

3.1.2. Bem: S_2 stellt den Teil der Eingabe dar, der noch relevant ist zur Berechnung restlicher Log. (für S_2)

S_2 ist eine dynamische 1-dim. Menge.

→ Reduzierung eines statischer 2-dim. Problems auf ein dynamisches 1-dim. Problem.

(die dynam. 1-dim. Probleme werden balancierte Suchbäume sein.).

3.1.3. Bem:

Wir haben spezielle Varianten des SL -Verfahrens kennen gelernt:

- inkrementelle konv. Hülle
13.8. Graham's Scan für beide Hüllen gleichzeitig
- Triangulierung.
Übung.

3.2. Line Segment Intersection

Schnitt von Geradensegmenten / Strecken.

3.2.1. Problem:

Geg: Menge S von n Segmenten

Ges: alle Schnittpunkte.

(Bzw. Unterteilung der Ebene in Graph)

Grundoperation: $s_i \cap s_j \quad \forall s_i, s_j \in S$

(dies geht in konst. Zeit $O(1)$ mit Orientierungstest).

3.2.2. Triviale Log:

Teste alle Paare nacheinander

→ Laufzeit $O(n^2)$.

3.2.3. Ziel: outputsensitiver Algorithmus, dh. Laufzeit hängt von Zahl der Schnittpunkte ab.

3.2.4. Idee für einen Plane Sweep Algorithmus:

